

第7章 对称振子

7.1 对称振子上的电流分布

7.2 对称振子的远区辐射场

7.3 对称振子的方向图

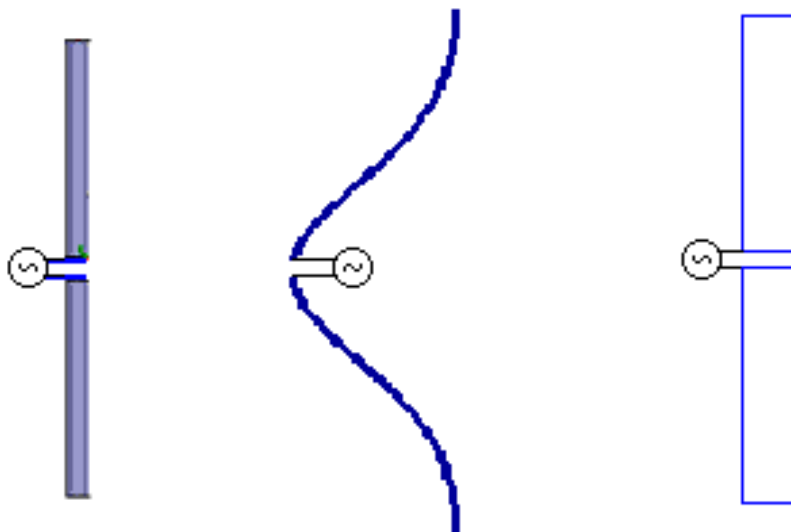
7.4 对称振子的方向性系数

7.5 对称振子的辐射电阻

7.6 对称振子的馈电

概念的引入——对称振子

对称振子，也叫偶极子，是由两根直径和长度相等的直导线组成，在中间的两个端点上由等幅反相的电压激励的天线。



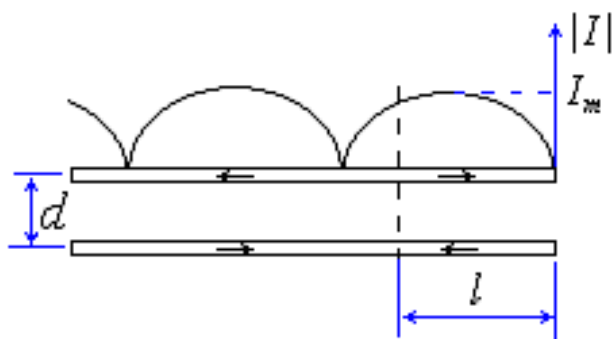
(a) 直线对称振子 (b) 曲线对称振子 (c) 贴片对称振子

中点馈电，两臂对称的直线、曲线和贴片天线等均可叫做对称振子天线

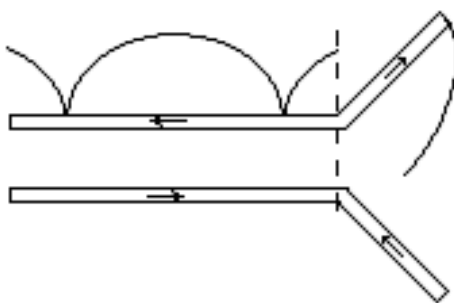
- (1) 每根导线长度为 l （总长度 $2l$ ），称为对称振子的臂长；
- (2) 中间馈电间距远小于波长，可忽略；
- (3) 对称振子臂的直径为 $2a$ ，远小于工作波长及其臂长。

7.1 对称振子上的电流分布

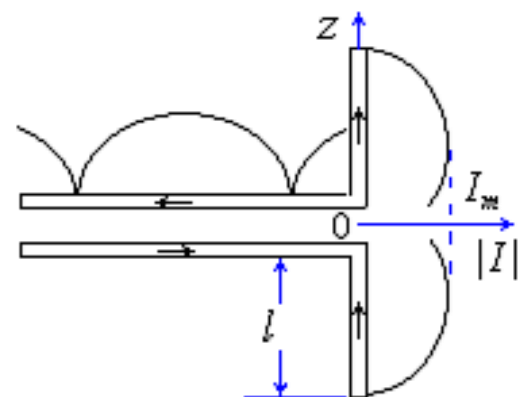
对于中点馈电的对称振子天线，其结构可看作是一段开路传输线张开而成，如下图所示。



(a) 开路双线传输线



(b) 半张开情况



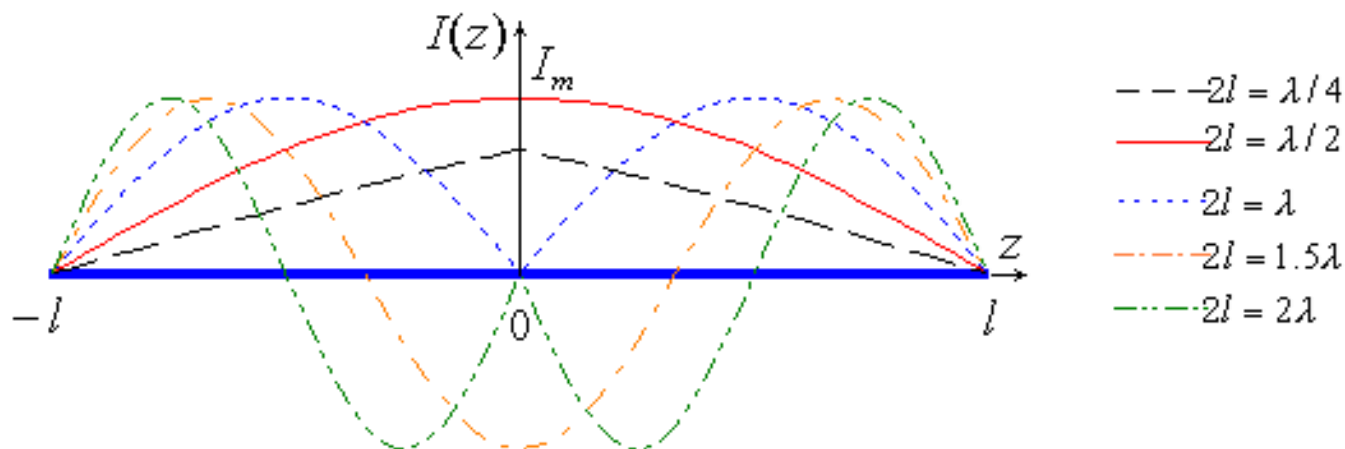
(c) 张开形成对称振子

对称振子的电流分布与末端开路线上的电流分布类似，接近于正弦驻波分布（单臂长为 l ）：

$$I(z) = I_m \sin[\beta(l - |z|)], \quad -l \leq z \leq l$$

由如下对称振子上的正弦电流分布表示，可绘出不同长度对称振子上的电流分布图

$$I(z) = I_m \sin[\beta(l - |z|)], \quad -l \leq z \leq l$$



对称振子天线全长大于一个波长时，由于方向图出现花瓣，其方向性降低。全长等于一个波长时的方向性最强，但是馈电点处的电流为零，其输入阻抗为无穷大，难以匹配。因此，实际中一般多采用半波振子天线。

7.2 对称振子的远区辐射场

对称振子天线是最常用的天线形式之一。设对称振子的长度为 $2l$ ，其上电流为正弦分布。怎么求远区场呢？

利用**叠加原理**计算对称振子的辐射场，这是一种工程近似方法：将电流分布与外场问题分开，先确定电流分布，再由电流分布计算外场。

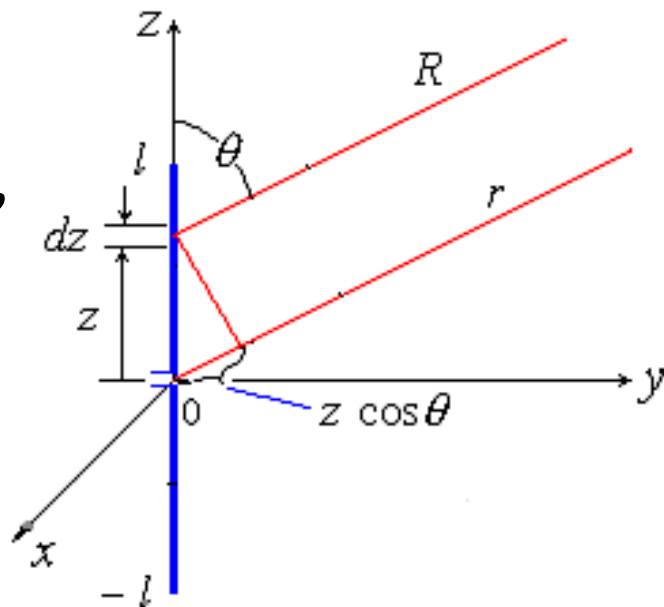
具体步骤如下：

1. 建立坐标系，如图所示，其上电流分布为

$$I(z) = I_m \sin[\beta(l - |z|)], \quad -l \leq z \leq l$$

2. 将对称振子分为长度为 dz 的许多小段，每个小段可看作是一个电流元，距坐标原点 z 处的电流元的辐射电场：

$$dE_\theta = j\eta_0 \frac{I(z)dz}{2\lambda R} \sin\theta e^{-j\beta R}$$



3. 作远场近似：对相位 $R \simeq r - z \cos \theta$ $e^{-j\beta R} = e^{-j\beta r} e^{j\beta z \cos \theta}$
对幅度 $R \simeq r$

4.求总场。总场是这些元天线的辐射场在空间某点的叠加，用积分表示为

$$E_{\theta} = \int_{-l}^l dE_{\theta} = j\eta_0 \frac{e^{-j\beta r}}{2\lambda r} \sin\theta \int_{-l}^l I(z) e^{j\beta z \cos\theta} dz$$

把正弦电流分布代入上式，并分成对两个臂的积分

$$E_{\theta} = j\eta_0 \frac{e^{-j\beta r}}{2\lambda r} \sin\theta I_m \left\{ \int_{-l}^0 \sin[\beta(l+z)] e^{j\beta z \cos\theta} dz + \int_0^l \sin[\beta(l-z)] e^{j\beta z \cos\theta} dz \right\}$$

$$= j\eta_0 \frac{e^{-j\beta r}}{2\lambda r} \sin\theta I_m 2 \int_0^l \sin[\beta(l-z)] \cos(\beta z \cos\theta) dz$$

$$= j \frac{60 I_m}{r} e^{-j\beta r} \frac{\cos(\beta l \cos\theta) - \cos(\beta l)}{\sin\theta}$$

$$= j \frac{60 I_m}{r} e^{-j\beta r} f(\theta)$$

5.求总场模值及方向图函数

模值为 $|E_\theta| = \frac{60I_m}{r} |f(\theta)|$

方向图函数为 $f(\theta) = \frac{\cos(\beta l \cos \theta) - \cos(\beta l)}{\sin \theta}$

当 $l \leq 0.65\lambda$ 时，最大辐射方向为侧向（ $\theta_m = \pi/2$ ），最大值为

$$f_{\max} = f(\theta_m) = 1 - \cos(\beta l)$$

此时的归一化方向图函数为

$$F(\theta) = \frac{\cos(\beta l \cos \theta) - \cos(\beta l)}{f_{\max} \cdot \sin \theta}$$

■半波振子： $2l = \lambda/2$,

$\beta l = \pi/2$, $f_{\max} = f(\theta_m) = 1$,

$$F(\theta) = f(\theta) = \frac{\cos(\frac{\pi}{2} \cos \theta)}{\sin \theta}$$

■全波振子： $2l=\lambda$ ， $\beta l=\pi$ ， $f_{\max}=f(\theta_m)=2$ ，

$$F(\theta) = \frac{\cos(\pi \cos \theta) + 1}{2 \sin \theta} = \frac{\cos^2(\frac{\pi}{2} \cos \theta)}{\sin \theta}$$

■短振子： $\beta l \ll 1$ ，把余弦函数表示成级数形式，有

$$f_{\max} = 1 - [1 - \frac{(\beta l)^2}{2} + \dots] \simeq \frac{(\beta l)^2}{2}$$

$$F(\theta) = \frac{[1 - \frac{(\beta l \cos \theta)^2}{2} + \dots] - [1 - \frac{(\beta l)^2}{2} + \dots]}{\frac{(\beta l)^2}{2} \sin \theta} \simeq \sin \theta$$

考虑到馈电点的电流为 $I_{in}=I_m \sin(\beta l) \approx I_m \beta l$ ，得短振子的辐射场为：

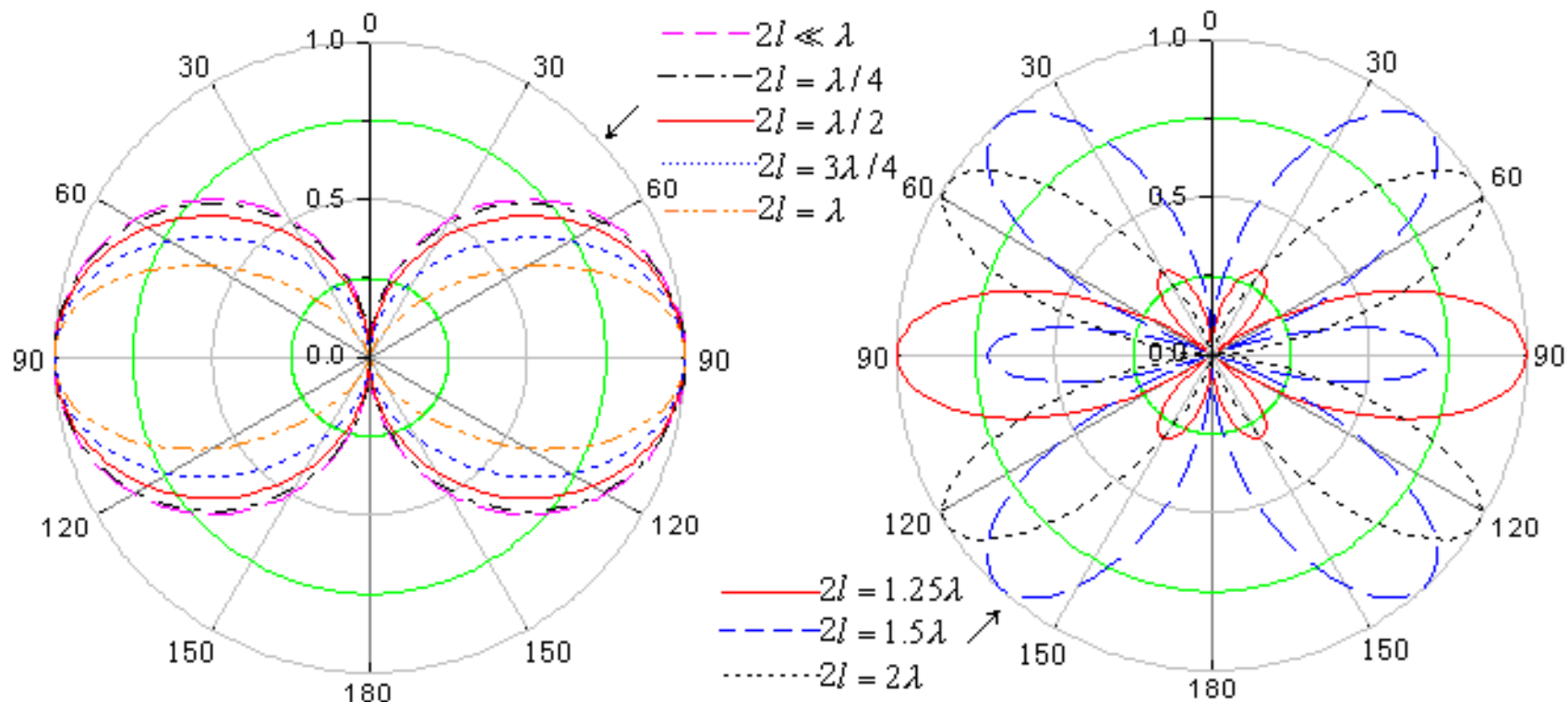
$$E_{\theta} = j \frac{60 I_m}{r} e^{-j\beta r} f_{\max} F(\theta) = j \frac{I_{in} l}{2\lambda r} \eta_0 \sin \theta e^{-j\beta r}$$

与电流元的辐射场式比较，两者形式上完全一样。这说明：一个长度为**2l**的短振子与一个长度为**dz=l**的元天线(电基本振子)等效。前者电流为三角形分布，后者电流为等幅分布。

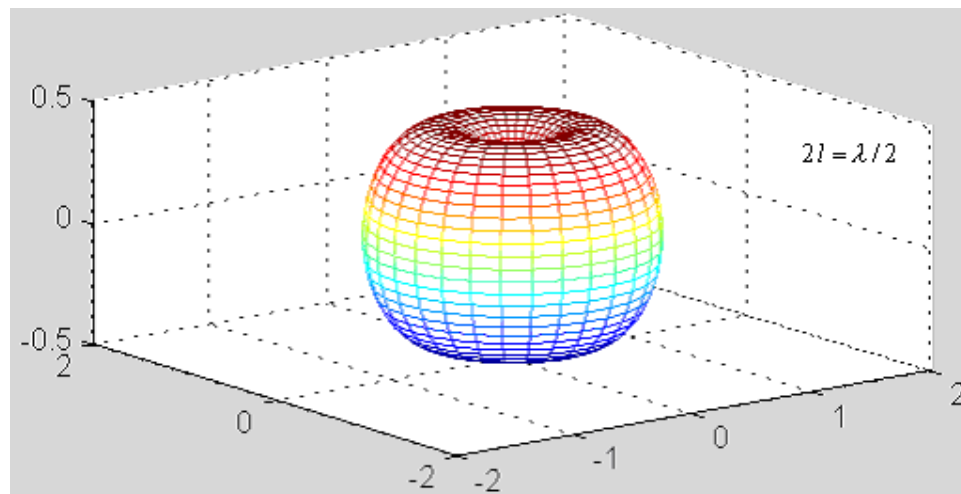
7.3 对称振子的方向图

由如下归一化方向图函数可绘出不同长度对称振子的E面方向图

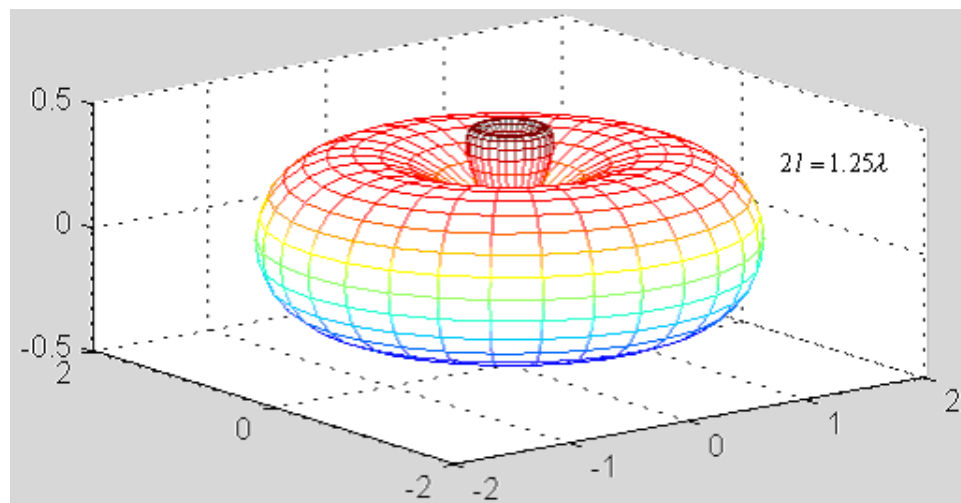
$$F(\theta) = \frac{\cos(\beta l \cos \theta) - \cos(\beta l)}{f_{\max} \cdot \sin \theta}$$



半波振子三维方向图 ($2l = \lambda/2$)



长度为 $2l = 5\lambda/4$ 的对称 振子三维方向图



对称振子方向图随臂长变化的演示

【例1.1】求半波振子天线的主瓣宽度 $2\theta_{0.5}$

解：半波振子的方向图函数为

$$F(\theta) = \frac{\cos(\pi \cos \theta / 2)}{\sin \theta}$$

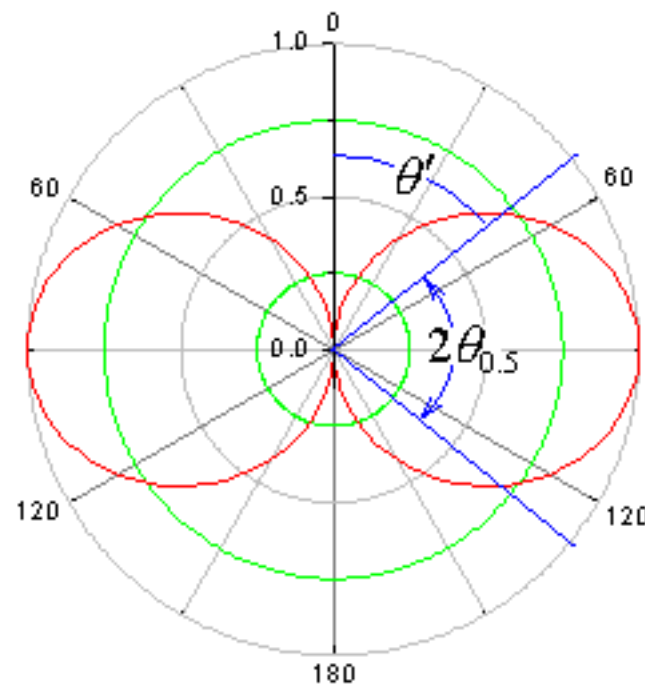
其方向图如图所示。

令 $F(\theta')=0.707$ ，可得 $\theta'=51^\circ$

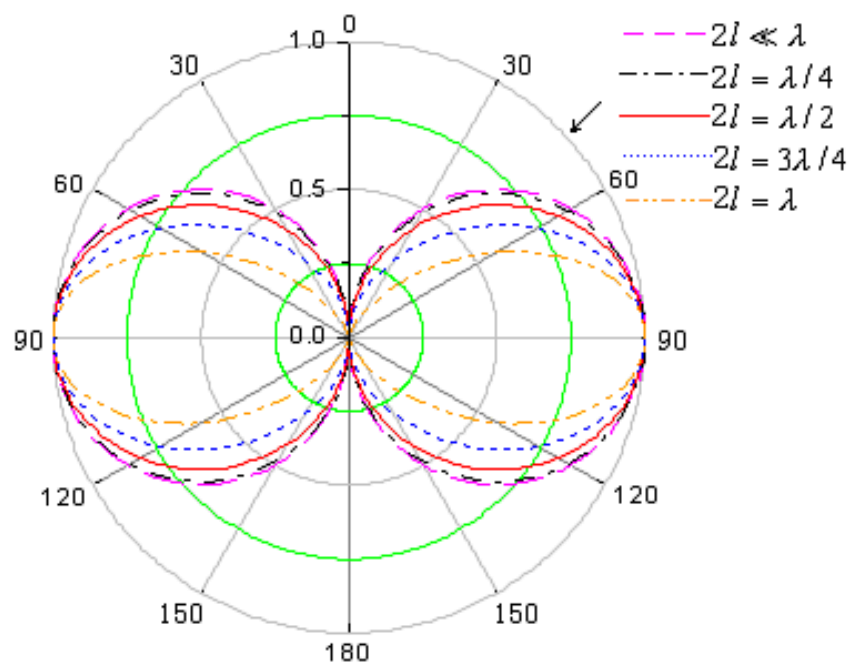
最大值方向为： $\theta_m=90^\circ$

$$\theta_{0.5} = \theta_m - \theta' = 39^\circ$$

得： $2\theta_{0.5} = 78^\circ$



根据不同长度的对称振子的方向图可列出其对应的主瓣宽度，见下表。



长度 $2l$	最大值 f_{\max}	$2\theta_{0.5}$
$\ll \lambda$	$2\pi^2(l/\lambda)^2$	90°
$\lambda/4$	0.293	87°
$\lambda/2$	1	78°
$3\lambda/4$	1.707	64°
λ	2	47.8°

在 $2l < 1.44\lambda$ 内，对称振子长度增加，主瓣宽度则变小。

半波对称振子应用：



半波对称振子应用：



7.4 对称振子的方向性系数

方向性系数 D

$$D = \frac{2f^2(\theta_m)}{\int_0^\pi f^2(\theta) \sin \theta d\theta} \quad (7-1)$$

■ 对称振子: $f(\theta) = \frac{\cos(\beta l \cos \theta) - \cos(\beta l)}{\sin \theta}$

把 $f(\theta)$ 代入式(7-1)得

$$D = 2f^2(\theta_m) / Q \quad (7-2)$$

式中, $f(\theta_m)=f_{\max}$, 为对称振子方向图函数的最大值。

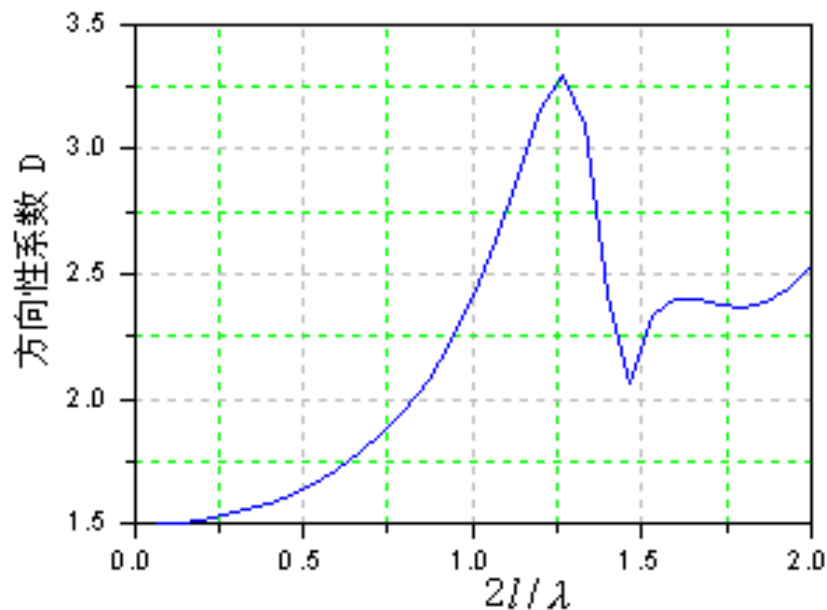
$$Q = \int_0^\pi f^2(\theta) \sin \theta d\theta = \int_0^\pi \left[\frac{\cos(\beta l \cos \theta) - \cos(\beta l)}{\sin \theta} \right]^2 \sin \theta d\theta$$

$$\begin{aligned}
 &= C + \ln(2\beta l) - C_i(2\beta l) + \frac{1}{2}\sin(2\beta l)[S_i(4\beta l) - 2S_i(2\beta l)] \\
 &\quad + \frac{1}{2}\cos(2\beta l)[C + \ln(\beta l) + C_i(4\beta l) - 2C_i(2\beta l)] \quad (7-3)
 \end{aligned}$$

式中，**C=0.5772** 为欧拉常数， $C_i(x)$ 和 $S_i(x)$ 分别为余弦积分和正弦积分

$$\begin{cases} C_i(x) = -\int_x^\infty \frac{\cos t}{t} dt \\ S_i(x) = \int_0^x \frac{\sin t}{t} dt \end{cases} \quad (7-4)$$

由式(7-2)~(7-4)编程计算可得到不同长度的对称振子的方向性系数，如图所示。



【例1.2】求半波振子天线的方向性系数。

解：对半波振子($2l=\lambda/2$)，其方向图函数为

$$F(\theta) = \frac{\cos(\frac{\pi}{2} \cos \theta)}{\sin \theta}$$

由式(7-3)，Q可简化为

$$Q = \int_0^\pi \frac{\cos^2(\pi \cos \theta / 2)}{\sin \theta} d\theta = - \int_0^\pi \frac{1 + \cos(\pi \cos \theta)}{2(1 - \cos^2 \theta)} d(\cos \theta)$$

$$\begin{aligned}
&= \frac{1}{4} \int_0^\pi \left(\frac{1}{1 + \cos \theta} + \frac{1}{1 - \cos \theta} \right) [1 + \cos(\pi \cos \theta)] d(\cos \theta) \\
&= \frac{1}{4} \int_0^\pi \left[\frac{1 + \cos(\pi \cos \theta)}{1 + \cos \theta} + \frac{1 + \cos(\pi \cos \theta)}{1 - \cos \theta} \right] d(\cos \theta) \\
&= \frac{1}{4} \int_0^\pi \frac{1 - \cos[\pi(1 + \cos \theta)]}{1 + \cos \theta} + \frac{1 - \cos[\pi(1 - \cos \theta)]}{1 - \cos \theta} d(\cos \theta) \\
&= \frac{1}{4} \int_0^\pi \frac{1 - \cos[\pi(1 + \cos \theta)]}{\pi(1 + \cos \theta)} d[\pi(1 + \cos \theta)] \\
&\quad + \frac{1}{4} \int_0^\pi \frac{1 - \cos[\pi(1 - \cos \theta)]}{\pi(1 - \cos \theta)} d[\pi(1 - \cos \theta)]
\end{aligned}$$

$$= 2 \times \frac{1}{4} \int_0^{2\pi} \frac{1 - \cos t}{t} dt = \frac{1}{2} [C + \ln(2\pi) - Ci(2\pi)] = 1.2175$$

且 $f(\theta_m) = f_{\max} = 1$ ，由式(7-2)即 $D = 2 f^2(\theta_m) / Q$ 得方向性系数为

$$D = \frac{2}{1.2175} \approx 1.64 \text{ 或 } D = 2.15 \text{ dB}$$

7.5 对称振子的辐射电阻

辐射电阻 R_r

可由公式： $R_r = 2P_r / I_m^2$ 来计算。辐射功率 P_r 的计算过程为：

辐射场 E_θ , $H_\phi = E_\theta / \eta_0$  坡印亭矢量 \mathbf{W}  辐射功率 P_r

对称振子的辐射电场为
$$E_\theta = j \frac{60 I_m}{r} e^{-j\beta r} f(\theta)$$

辐射功率为
$$P_r = \frac{1}{2} \oint \mathbf{E} \times \mathbf{H}^* \cdot \hat{r} ds$$

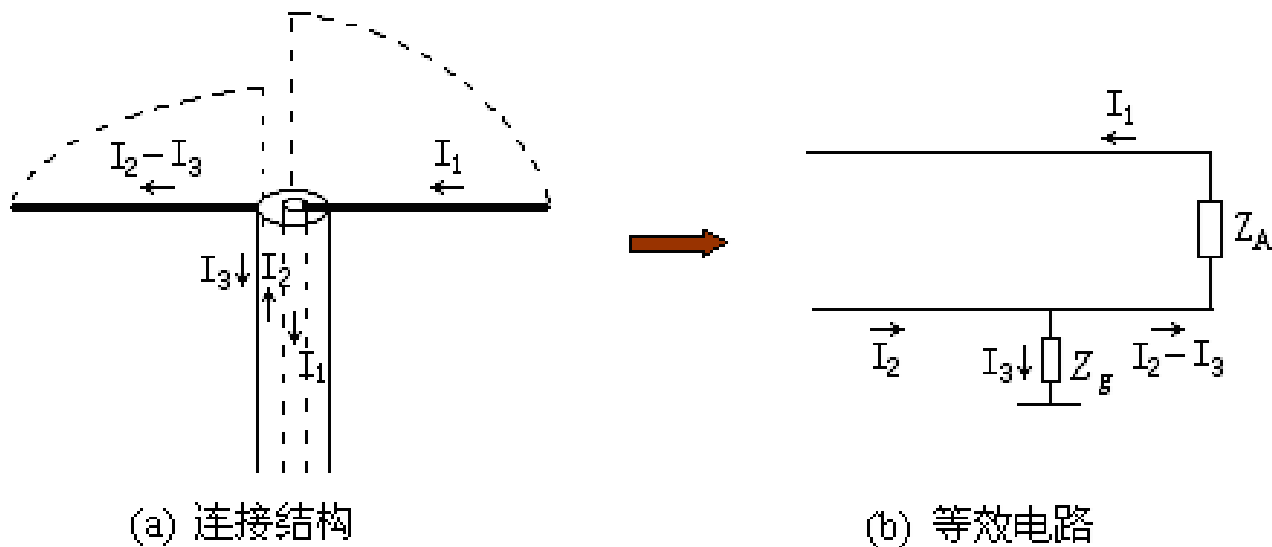
$$\begin{aligned}
&= \frac{60^2}{2\eta_0} I_m^2 \int_0^{2\pi} d\varphi \int_0^\pi f^2(\theta) \sin \theta d\theta \\
&= \frac{60^2 \pi}{\eta_0} I_m^2 \int_0^\pi \left[\frac{\cos(\beta l \cos \theta) - \cos(\beta l / 2)}{\sin \theta} \right]^2 \sin \theta d\theta \\
&= \frac{60^2 \pi}{\eta_0} I_m^2 Q
\end{aligned}$$

辐射电阻为 $R_r = \frac{2P_r}{I_m^2} = \frac{2 \times 60^2 \pi}{\eta_0} Q = 60Q$

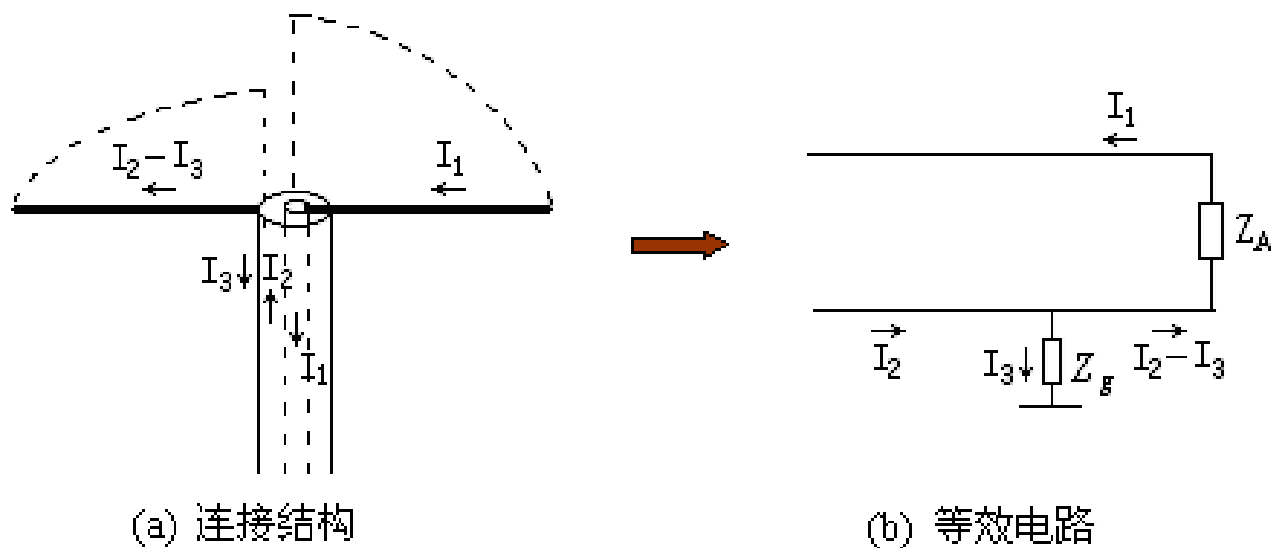
对半波振子： $Q=1.2175$ ， $R_r=60 \times 1.2175=73.1 \Omega$ 。

7.6 对称振子的馈电

采用同轴电缆馈电，（同轴线内外导体分别接上对称振子的两个臂），则将使振子两个臂的电流分布不对称，即为不平衡，如下图所示。



电流分布不平衡的结果将使天线的方向图发生畸变，并影响其输入阻抗。这种情况是我们不希望的，应当设法避免。



见上图(a), 假如馈电能达到平衡, 则同轴线内外导体上电流应等幅反相, $I_2 = -I_1$ 。然而, 当接上对称振子后, 有部分电流 I_3 将从外导体外侧流回, 致使天线两臂上对称点的电流不等。回流电流的大小主要由外导体与地之间的接地阻抗 Z_g 决定, 见上图(b)等效电路。

如果采用一种装置能使 Z_g 很大，则可大大减少 I_3 ，从而使馈电达到平衡。这种用来阻塞和抑制同轴线外导体外表面电流的装置叫平衡变换器，或称作对称变换器。

现在广泛应用于相控阵的贴片对称振子天线如下图所示。其平衡变换器称作“巴仑”(Balun)是“平衡与非平衡”英文词组的缩写。这种天线的巴仑为对称振子背面的耦合微带结构，其带宽较宽。

